

討 23 低温での強加工によって高純度鉄中に生じた点欠陥の消滅過程について*

C. E. C. M. (フランス) ピエール・メルクラン

概要： 液体窒素温度で高純度鉄を強圧延し、変形によって生じた格子欠陥の回復を電気抵抗測定によって調べた。80°K～400°Kにわたる等温焼鈍において、強圧延した試料では、200°Kに大きな電気抵抗の減少がみられた。等温焼鈍も含めさせてこのステージのキネティックスを詳しく調べた結果、活性化エネルギーとして $0.53 \pm 0.05 \text{ eV}$ 、反応の次数として4がえられた。この結果は同様な測定を行った Cuddy⁴⁾ がこのステージの活性化エネルギーとしてえた値 0.55 eV と一致するが、時間則については異っている。時間則の不一致は Cuddy の実験においては、このステージの前にある 170°K 附近のサブステージを消すための予備焼鈍が十分行われていなかつたためと考えられる。このステージの温度範囲は中性子照射による電気抵抗測定⁵⁾ からえられたステージ II B と一致しており、活性化エネルギーもほぼ等しい。これらからこの 200°K のステージは変形によって生じた点欠陥（多分 di-interstitial か di-vacancy ）の消滅に対応するものとおもわれる。

実験方法： 試料はわれわれの研究室で精製した高純度鉄で、金属不純物は全量で 4 ppm 以下、ガス不純物としては C を 17 ppm 含む多結晶板である。試料の結晶粒度は平均約 250 μ程度で、ほぼ均一であった。変形は試料と圧延機のロールを液体窒素に浸した状態で行い、試料はすべて面積減率で 90% の圧延を与えた。

電気抵抗の測定は液体水素温度 (20.3°K) で行った。抵抗の測定結果は $\varrho_{20.3} / \varrho_{294}$ の比で整理した。ここで、 $\varrho_{20.3}$ は各焼鈍後 20.3°K で測定した試料の抵抗値であり、 ϱ_{294} はこの試料を再結晶させ、変形によって導入された格子欠陥をとり除いた後の 294°K における抵抗値である。このような比で表わすと、試料の寸法、形状に無関係な量として、格子欠陥の回復を表示できる。

実験結果：

[1] 圧延による電気抵抗の増加： 圧延による電気抵抗の増加の割合は Fe では他の金属における抵抗増加率に比べて小さかった。例えば、液体窒素中で、圧延率 90% の圧延を行った Fe では、 $11.2 \times 10^{-8} \Omega \cdot \text{cm}$ しか抵抗の増加がみられなかつたが、同じ条件で行つた場合 Ni では、 $45 \times 10^{-8} \Omega \cdot \text{cm}$ の増加があつた。他の金属についても表 1 にみるとおりに、Fe に比し増加率が大きいことが測定されている。

[2] 等温焼鈍曲線： 液体窒素中で 90% 圧延した試料を 20°K 毎に各 1 時間 80°K～400°K にわたり焼鈍して、等温焼鈍曲線をえた。その温度に対する微分曲線を図 1 に示す。

図 1 にみられるように 200°K 附近に大きな回復のステージがある。このピークは 170°K 附近に肩の部分をもつて、これはサブステージが重なつたためとおもわれる。

[3] 200°K のステージ： 200°K のステージの回復のキネティックスを調べるために、199°K と 222.5°K で等温焼鈍を行つた。なお、試料は圧延後、この等温焼鈍を行う前に、170°K で 1 時間の予備焼鈍を

* 1968年 3月 10日 パリ大学理学部に受理された。理学博士論文の一節、この研究は金属化学研究センター (C.E.C.M.) において、chaudron 教授、および Dimitrov 博士の指導によって行われたもので、既に文献 1), 2), 3) に発表されている。

行い、サブステージの影響をとり除いた。求まつた2本の199Kと222.5Kの等温焼鉄曲線から、同一の回復率をうる時間と比較すること（cross-cut法）によって活性化エネルギーを計算した。その結果回復率が35%以上では同じ値がえられ、それは $0.55 \pm 0.05 \text{ eV}$ であった。一方、勾配変化法（slope change法）からも活性化エネルギーを求めた。図1に測定した温度を矢印で示し、えられた値を表示した。これら2つの方法で求めた活性化エネルギーの平均値は $0.53 \pm 0.05 \text{ eV}$ となるがこれがこのステージの回復の活性化エネルギーを与えるものと考えられる。

一方、上に述べた等温焼鉄曲線を $\log \frac{\Delta \rho_0}{\Delta \rho}$ 対 $\log t$ の関係にプロットし直すと図2(a)がえられる。もしこの関係が直線としてえられるならば、等時焼鉄による電気抵抗の変化は次の(1)式に従つてゐることになる。

$$\Delta \rho_0 / \Delta \rho = A \exp [-B t^{1/2}] \quad (1)$$

ここで、A, Bは定数、 $\Delta \rho_0$ は過程全体での電気抵抗の減少量、 $\Delta \rho$ は初めから時間t迄の電気抵抗の減少量である。Cudley⁴⁾は我々と同様に測定を行い、200Kのステージが(1)式に従うことを報告しているが、我々の結果は図2(a)にみるよにこの式に従ひない。一方、今我々のえた等温焼鉄曲線を $\log (\Delta \rho / dt)$ 対 $\log \Delta \rho$ でプロットし直すと図2(b)がえられる。図にみるよに、両者は直線関係にあることがわかる。この直線の勾配は反応次数を表わすが、図からこの値は4と求まつた。

考察：

本実験では、強加工を行うことによつて、加工度の小さかったこれまでの研究^{6), 7)}では顯著に認められなかつた回復のステージが200Kに現れることが明らかにされた。これは加工度の大きいところでは実験することによつて、主要な現象のみを明瞭にし、他の小さなステージをバックグラウンドに沈めてしまうことができたためであろう。

今認められたこの200KのステージはMinier-Cassayre⁵⁾が測定した液体窒素中で中性子照射したFeの電気抵抗の回復にみられるステージIIbと同じ温度範囲にある。また活性化エネルギーも中性子照射の場合が $0.35 \sim 0.6 \text{ eV}$ に対し、 0.53 eV とその間にあつた。Minier-Cassayre⁵⁾は、電気抵抗の他、内部摩擦、磁気余効等の測定結果と考へ合わせて、このステージIIbを

di-interstitial

（またはdivacancy）の移動によるものとしているが、我々の場合もこの種の点欠陥の移動が200Kの回復をもたらしているものと考えられる。

実験結果[3]のところで述べたCudleyの結果⁴⁾と我々の結果における時間則が異なることについては次のようになります。即ち、Cudley⁴⁾は170Kのサブステージを消すための予備焼鉄を10minしか行っていらず、 $\Delta \rho_0, \Delta \rho$ として170Kのサブステージのものを含んでいる可能性がある。このために偶々、(1)式に合ひ結果がえられたのかもしれない。さらに(1)式の適用について言及したいことは、これは、転位の应力場の中におけるvacancyの移動の時間則を与えるものとして出されたものであるが、BalluffiとSeidman⁸⁾が示したように、(1)式は非常に限られた条件でしか適用できないもので、実験結果がこの式に合うのはむしろ偶然であるといわねばならぬ。つまり、(1)式に合うことで、測定された現象が、転位の应力場中におけるvacancyの移動を示すものと断定することはできない。

文献

- 1) P. Merklen and O. Dimitrov: C. R. Ac. Sc. 265, 160 (1967).

- 2) P. Merklen and O. Dimitrov: Colloque Int. sur le fer de très haute pureté Session V [C.N.R.S., Paris, Sept. 1966] to be published in the Mem. Scient. de la Revue de Metallurgie.
- 3) P. Merklen; Thèse, Paris 1968, registered C.N.R.S. No. 1972.
- 4) L. J. Cuddy: Acta Met., 16, 93 (1968).
- 5) C. Minier-Cassayre; Thèse, Grenoble 1965.
- 6) A. Yoshikawa and M. Okamoto: J. Phys. Soc. Japan, 22, 996 (1967).
- 7) T. Oi and K. Sato: Trans. Japan Inst. Metals, 7, 32 (1966).
- 8) R. W. Balluffi and D. N. Seidman: Phil. Mag., 17, 843 (1968).
- 9) J. P. Touboul, et al.; Mem. Sci. Rev. Métal. 64, 489 (1967)
- 10) C. Frois: Acta. Met. 14, 1325 (1966)

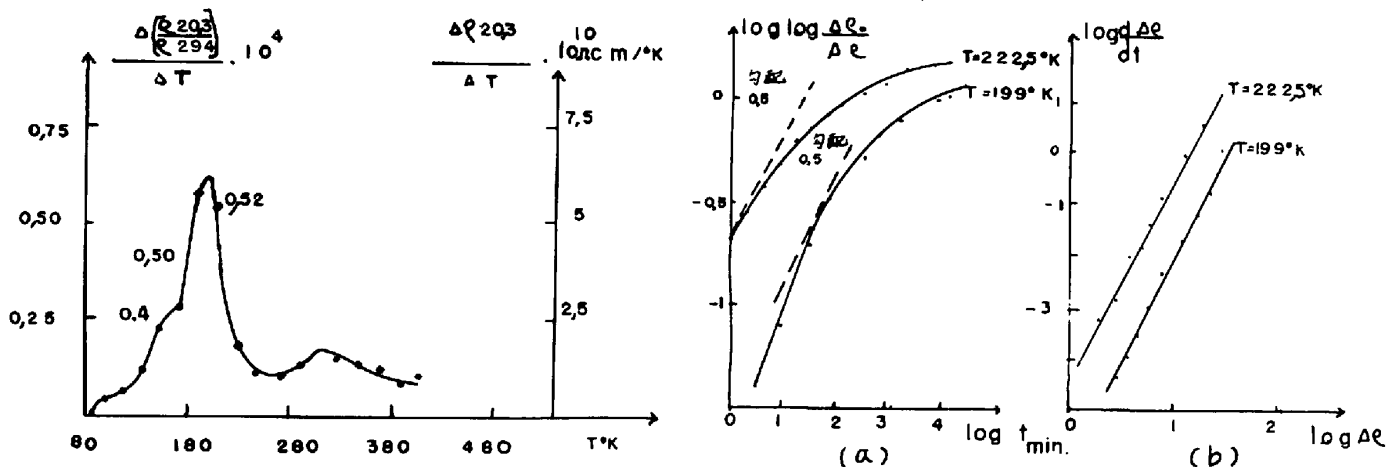


図1 77°Kで90%圧延したFeの酸素抵抗の低温における等時焼純の微分曲線。図中の数字は
勾配の変化から求めた活性化エネルギー(eV)
図2 77°Kで90%圧延したFeの200°Kのステップの酸素抵抗の等温焼純

$$\Delta g_i = g_i - g_f, \quad \Delta g = g - g_f$$

g : 時間*t*における抵抗

g_i : 170°K × 1hr 焼純後
の抵抗の値(初期値)

g_f : 252°K × 1hr 焼純後
の抵抗の値(最終値)

表 1

金属	圧延温度	圧延率	$\frac{g_{20,3}}{g_{294}}$	$\Delta g \Omega \text{cm}$
Fe	77°K	90 %	$115 \cdot 10^{-4}$	$11,2 \cdot 10^{-8}$
	294°K	90 %	$45 \cdot 10^{-4}$	$4,35 \cdot 10^{-8}$
Mo (9)	294°K	80 %	$181 \cdot 10^{-4}$	$10,2 \cdot 10^{-8}$
	294°K	50 %	$96 \cdot 10^{-4}$	$5,42 \cdot 10^{-8}$
Al (10)	77°K	96,5 %	$1010 \cdot 10^{-4}$	$26,9 \cdot 10^{-8}$
	77°K	91 %	$740 \cdot 10^{-4}$	$19,7 \cdot 10^{-8}$
	77°K	65 %	$356 \cdot 10^{-4}$	$9,48 \cdot 10^{-8}$
Cu	294°K	96 %	$218 \cdot 10^{-4}$	$3,63 \cdot 10^{-8}$
Ni	77°K	89 %	$648 \cdot 10^{-4}$	$45 \cdot 10^{-8}$
	77°K	64,5 %	$401 \cdot 10^{-4}$	$27,5 \cdot 10^{-8}$
	294°K	67,5 %	$150 \cdot 10^{-4}$	$10,3 \cdot 10^{-8}$